

### 3 讨 论

上述结果显示本实验室所得到的3株IL-6单抗均有较强的特异性，只识别21 ku的rhIL-6，而与其他细胞因子无交叉。它对IL-6的亲和常数达 $1.62 \times 10^9$  (mol/L) $^{-1}$ 。用本实验室研制的3株抗IL-6的单抗并建立的双抗体夹心ELISA法检测临床收集的血清标本，测定结果表明风湿病人血清中IL-6的含量大大超过正常人。其特点是：快速、实用、敏感性高、重复性好。近年来，许多临床资料表明：测定血清中IL-6水平对许多自身免疫疾病，如类风湿关节炎、红斑狼疮等的诊断和治疗及愈后判定均有重要的指导意义。国产化试剂盒的研制成功，必将推动这些疾病发病机理、诊断及疗效的进一步研究。

### 参 考 文 献

- 1 Kohler G, Milstein C. Continuoccs culures of fused cells secreting antibody of predefined specificity. Nature, 1975, 256: 495~ 498
- 2 Goding J W. Antibody production by hybridomas. J Immunol Method, 1980, 39: 285~ 308
- 3 孙瑛勋，赵薇薇，孙启鸿. 抗人IgD单克隆抗体的制备及其特性鉴定. 单克隆抗体通讯, 1993, 9 (2): 40~ 44
- 4 Beatty J D, Barbara G B, William G V. Measurement of monoclonal antibody affinity by non-competitive enzyme immunoassay. J Immunol Methods, 1987, 100: 173~ 179

**Preparation and Characterization of A Series of Monoclonal Antibodies Against Recombinant Human Interleukin-6.** JINAG Panhong, MO Wei, DOU Liangjun, ZHAO Xiaomeng, YUAN Tingjun, SONG Jinhua (*Beijing Laboratory for Biochemicals, Beijing 100022, China*).

**Abstract** Using the hybridoma technique, a series of secretingmonoclonal antibodies (McAbs) against recombinant human interleukin-6 ( rhIL-6) have been established after immunization of Balb/c mice with rhIL-6. Three of these McAbs 2H<sub>2</sub>, 1D<sub>2</sub> and 4B<sub>4</sub> were well characterized. Their Ig class and subclass were determined as IgG1 and IgG2a respectively. These McAbs reacted with a high degree of specificity to rhIL-6 and did not have cross reactivity with many other cytokines and irrelevant proteins. Immunoblotting results showed that these McAb only recognized a single band of rhIL-6 with molecular mass of 21 ku. These McAb reacted strongly with IL-6 molecules with an affinity constant ( $K_{aff}$ )  $1.62 \times 10^9$  (mol/L) $^{-1}$ .

**Key words** monoclonal antibodies, interleukin-6, affinity constant

## 用 Blue Sepharose CL-6B 快速纯化天花粉蛋白

袁惠东 夏其昌 张祖传

(中国科学院上海生物化学研究所, 上海 200031)

**摘要** 差光谱显示染料cibacron blue F3GA与天花粉蛋白(TCS)有特异性结合，复合物在可见光部分的最大吸收波长在690 nm，摩尔消光系数 $\epsilon = 2.6 \times 10^{-3}$  (mol/L) $^{-1} \cdot \text{cm}^{-1}$ ，解离常数 $K_d = 1.8 \mu\text{mol/L}$ ，0.5 mol/L NaCl可使复合物解离。根据这一特点，用Blue Sepharose CL-6B凝胶从栝蒌块茎中亲和纯化了TCS。此法快速、简便、高效，易于大量制备。

**关键词** 天花粉蛋白, Cibacron blue F3GA, 差光谱, 亲和层析

天花粉蛋白 (trichosanthin, TCS) 是一种核糖体失活蛋白 (ribosome inactivating protein, RIP), 大量存在于葫芦科植物栝蒌的块茎中, 已被广泛地应用于科研和临幊上。常用的纯化方法有丙酮沉淀、离子交换层析<sup>[1]</sup>、反相 HPLC<sup>[2]</sup>及批量结晶等。这些方法较为复杂, 费时较长, 纯化过程易造成损失, 影响产率。蓝色染料 cibacron blue F3GA 是一种结构类似于 NAD<sup>+</sup> 的碘化多芳香环化合物, 可与多种含核苷酸结合部位的蛋白特异地结合<sup>[3]</sup>, 故常用作配基与 Sepharose 偶联制成亲和凝胶, 它的商品名称为 Blue Sepharose CL-6B。植物 RIP 均以真核生物 rRNA 为底物, 有核苷酸结合部位, 有人曾研究过 cibacron blue F3GA 与蓖麻毒素 Ricin A 链结合的性质<sup>[4]</sup>。TCS 与 Ricin A 链有高度同源性, 所以我们对 TCS 和 cibacron blue F3GA 结合的性质也作了研究, 差光谱的结果证明二者有特异性结合。在此基础上, 我们建立了一种简便、快速、高效的用 Blue Sepharose CL-6B 纯化 TCS 的方法。

## 1 材料和方法

### 1.1 材料

栝蒌块茎购自浙江平湖地区; 结晶 TCS 标准品购自上海金山制药厂; Cibacron blue F3GA 为 Fluka 公司产品; Blue Sepharose CL-6B 购自 Pharmacia 公司; <sup>14</sup>C-Leu 购自 Gibco 公司; 磷酸肌酸激酶 (PCK)、高铁血红素 (Hemin)、ATP、GTP 均为 Sigma 公司产品; 其余均为分析纯试剂。兔网织红细胞裂解液 Lysate 按应文斌等<sup>[5]</sup>的方法制备, 液氮中保存备用。

### 1.2 方法

**1.2.1 Cibacron blue F3GA 与 TCS 结合性质的研究:** Cibacron blue F3GA 经乙醚沉淀进一步纯化后<sup>[6]</sup>, 用 20 mmol/L Tris-HCl, pH 7.5 缓冲液稀释成不同浓度, 并各加 TCS 至 20 μmol/L, 室温过夜使二者充分结合, 在 Beckmann DU-7500 分光光度计上做 500~800 nm 的波长扫描, 比色杯光径 1 cm。以一

定浓度的染料溶液为参比, 以含相同浓度染料但加有 TCS 的溶液为样品, 作出差光谱, 找出最大吸收波长  $\lambda_{max}$ 。在 TCS 浓度比染料浓度大大过量的条件下, 测定反应复合物在  $\lambda_{max}$  处的光吸收值, 求出摩尔消光系数 ε。测定在不同染料浓度下复合物的光吸收值, 并以染料浓度为横坐标、 $\lambda_{max}$  处的光吸收差值为纵坐标绘制结合曲线及双倒数曲线。

**1.2.2 天花粉蛋白的纯化:** 栝蒌块茎捣碎, 用水抽提后, 离心, 上清用硫酸铵分级沉淀, 取 30%~100% 饱和度沉淀部分用水溶解, 对 20 mmol/L Tris-HCl, pH 7.5 缓冲液透析, 上经相同缓冲液平衡的 Blue Sepharose CL-6B 柱, 先用平衡缓冲液充分洗去未吸附的蛋白, 然后用含 0.5 mol/L NaCl 的 20 mmol/L Tris-HCl, pH 7.5 缓冲液洗脱吸附在柱上的 TCS。蛋白浓度用 Lowry 法<sup>[7]</sup> 测定, 纯度用 Laemmli<sup>[8]</sup> 的 SDS-PAGE 法进行测定。

**1.2.3 TCS 对无细胞系统蛋白质生物合成抑制活性的测定:** 基本按应文斌等<sup>[5]</sup>的方法。每一反应体系中含 30 μl 兔网织红细胞裂解液、20 μl 不同浓度的 TCS、20 μl 含 0.05 μCi <sup>14</sup>C-Leu 的氨基酸混合液, 37 °C 保温 1 h, 加终止脱色液 (0.2 mol/L NaOH, 0.6% H<sub>2</sub>O<sub>2</sub>) 脱色 1 h, 再加 50% 三氯乙酸 (TCA) 至终浓度为 20% 使蛋白沉淀, 把沉淀转移至玻璃纤维膜上, 先用 8% 的 TCA 洗三遍, 再用丙酮洗一遍, 烘干, 在液闪计数器上测定其每分钟的放射性计数 (cpm), 并以测得的 cpm 值表示蛋白质生物合成能力。样品的活力则以蛋白质合成被抑制 50% 时所需的样品浓度  $IC_{50}$  表示。

## 2 结 果

### 2.1 Cibacron blue F3GA 与 TCS 的结合反应

一定浓度 cibacron blue F3GA 与过量 TCS 反应后, 500~800 nm 波长范围的差光谱扫描结果如图 1 所示, 不同浓度的染料与 TCS 作用后呈现特征性差吸收光谱。Cibacron blue F3GA 与 TCS 反应后, 最大吸收波长  $\lambda_{max}$  由

610 nm<sup>[3]</sup>红移至690 nm, 而在586 nm处产生一个负吸收峰。随着染料浓度的增大, 对应的

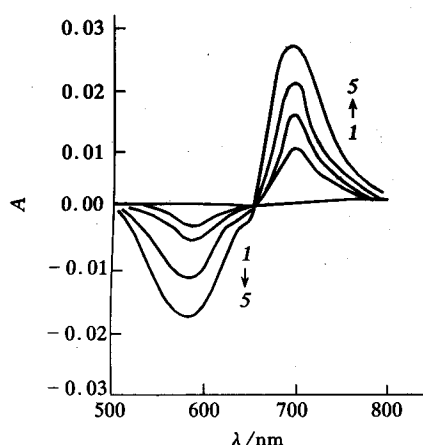


图1 TCS 和 cibacron blue F3GA 作用后的差示光谱

TCS 浓度为 20 μmol/L; 曲线 1~5 所用的染料浓度分别为 0 (基线), 3.28 μmol/L, 4.69 μmol/L, 6.10 μmol/L, 7.46 μmol/L。

690 nm 处的光吸收差值 ( $\Delta A_{690}$ ) 以双曲线形式增大 (图 2a), 说明染料分子与 TCS 分子相互作用并形成了特异性复合物, 它在  $\lambda_{\max}$  (690 nm) 处的摩尔消光系数  $\epsilon = 2.6 \times 10^{-3} (\text{mol/L})^{-1} \cdot \text{cm}^{-1}$  (图未给)。以游离染料浓度的倒数为横坐标、复合物浓度的倒数为纵坐标作图得一直线 (图 2b), 其横截距的倒数即为复合物解离常数  $K_d$ , 经计算为

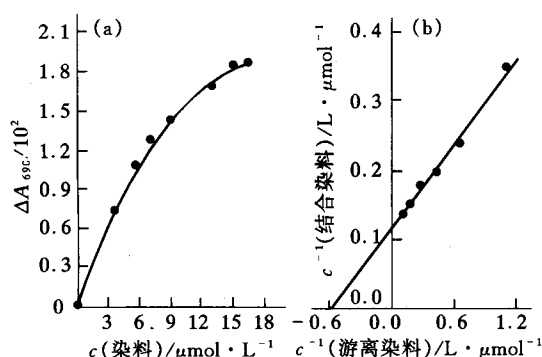


图2 Cibacron blue F3GA 与 TCS 的结合反应

(a) 690 nm 处的光吸收差曲线; (b) 对应的游离染料浓度与结合染料浓度的双倒数曲线; TCS 的浓度为 20 μmol/L。

1.8 μmol/L, 此值与酶和抑制剂复合物的解离常数相当。此外, 我们在上述反应体系中加入 0.5 mol/L NaCl 后, 差光谱曲线消失, 说明 TCS-cibacron blue F3GA 复合物解离, 这为以染料为配基的 TCS 的亲和纯化提供了依据。

## 2.2 天花粉蛋白的分离纯化

取 3 ml 对 20 mmol/L Tris-HCl, pH 7.5 缓冲液充分透析的硫酸铵沉淀透析物 (约 18 mg 蛋白), 上 Blue Sepharose CL-6B 柱 (0.6 cm × 4 cm), 流速 10 ml/h。用平衡缓冲液充分洗出未被吸附的蛋白 (峰 1) 后, 加入含 0.5 mol/L NaCl 的 20 mmol/L Tris-HCl, pH 7.5 溶液进行洗脱, 分部收集, 每管 2 ml, 洗脱曲线如图 3 所示。合并峰 1 和峰 2 各管,

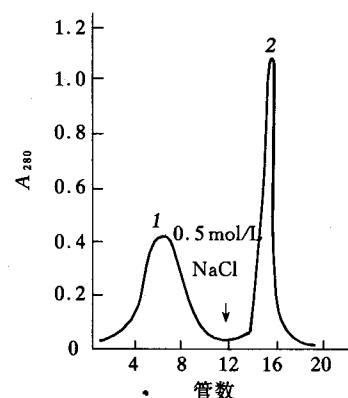


图3 TCS 的 Blue Sepharose CL-4B 亲和层析图谱

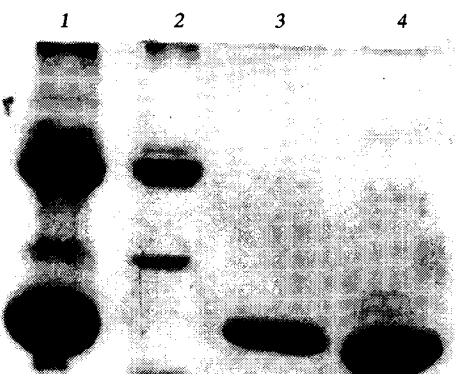


图4 纯化后 TCS 的 SDS-PAGE 电泳图谱

1: (NH<sub>4</sub>)<sub>2</sub>SO<sub>4</sub> 沉淀, 2: 流出液 (峰 1), 3: 亲和纯化后的 TCS (峰 2), 4: TCS 标准品。

分别测得蛋白质含量约为 10 mg 和 8 mg, 说明上柱样品都已回收。12.5% SDS-PAGE 结果表明: 峰 1 不含 TCS, 峰 2 为均一的蛋白质染色条带, 分子质量与 TCS 标准品相同(图 4)。此外, 我们还测定了该条件下亲和凝胶的交换容量, 每毫升 Blue Sepharose CL-6B 可吸附 15 mg TCS。

### 2.3 纯化产物的活性测定

为了进一步鉴定纯化产物的性质, 我们测定了它对兔网织红细胞裂解液蛋白质生物合成的抑制活性(图 5)。纯化的 TCS 在无细胞系统中抑制 50% 蛋白合成的浓度  $IC_{50}$  为  $3.2 \times 10^{-10} \text{ mol/L}$ , 较标准品活性 ( $IC_{50} = 3.9 \times 10^{-10} \text{ mol/L}$ ) 略低, 并与文献 [5] 报道相符, 可见纯化效果较好。

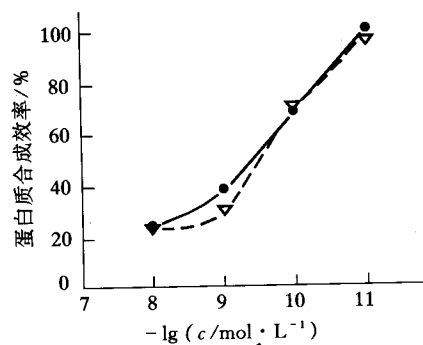


图 5 纯化的 TCS 与标准品 TCS 抑制无细胞系统蛋白合成活性比较

以抑制 50% 蛋白合成时的 TCS 浓度 ( $IC_{50}$ ) 为毒性标准。●—●: 纯化的 TCS; ▽—▽: 标准品 TCS。

## 3 讨 论

能特异地和 cibacron blue F3GA 结合的蛋白质均有一个双核苷酸结合域, 二者主要靠疏水作用和静电吸引相互结合<sup>[9]</sup>。我们的结果表明: 在 TCS 与 cibacron blue F3GA 结合中, 静电力起了重要的作用, 只要加入一定浓度 NaCl 就可解吸附。尽管这一作用力较弱, 但这种结合是特异性的, 因为蛋白与 cibacron blue F3GA 之间的非特异性相互作用并不能产

生特征性的差光谱红移<sup>[11]</sup>。

虽然 TCS 和 Ricin 同属 RIP 家族, 作用机制相同, 一级结构和高级结构均有高度同源性<sup>[10]</sup>, 但它们与 cibacron blue F3GA 的结合能力有显著差别, TCS ( $K_d = 1.8 \mu\text{mol/L}$ ) 比 Ricin A 链 ( $K_d = 0.72 \mu\text{mol/L}$ )<sup>[4]</sup> 约低 2.5 倍; 此外, Keiichi 等<sup>[5]</sup>发现 cibacron blue F3GA 对 Ricin A 链的活性有明显的抑制作用, 并认为染料可作为底物类似物结合 Ricin A 链的活性部位, 但我们的结果表明染料对 TCS 活性无明显影响(数据未给), 这说明二者的结合部位的结构存在一定差异, Ricin A 链的结构更利于与染料的结合。

TCS 与 cibacron blue F3GA 弱的特异性相互作用有利于 TCS 的纯化, 低盐洗脱条件有利于保持 TCS 的活性、延长 Blue Sepharose 亲和柱的使用寿命。本文建立的纯化方法不需要复杂的设备, 操作简便, 周期短, 效率高, 适于大量制备。

## 参 考 文 献

- 1 Yeung H W, Poon S P, Ng T B et al. Isolation and characterization of an immunopressive protein from *Trichosanthes Kiriovii* root tubers. Immunopharmac Immunotoxicol, 1987, 9: 25~46
- 2 Maraganore J M, Joseph M, Bailey M C. Purification and characterization of Trichosanthin. J Biol Chem, 1987, 262: 11628~11633
- 3 Thompson S H, Stellwagen E. Binding of cibacron blue F3GA to proteins containing the dinucleotide fold. Proc Natl Acad Sci USA, 1976, 73: 361~365
- 4 Keiichi W, Gunki F. Interaction of cibacron blue F3GA and polynucleotides with ricin A-chain, 60S ribosomal subunit-inactivating protein. Biochim Biophys Acta, 1987, 914: 177~184
- 5 应文斌, 张振范, 王庆诚. 网织红细胞破碎液中蛋白质生物合成的抑制的测定. 生物化学与生物物理进展, 1989, 16: 467~470
- 6 Apps D K, Gleed C D. Interaction of pigeon liver nicotinamide adenine dinucleotide kinase with cibacron blue F3GA. Biochem J, 1976, 159: 441~443
- 7 Lowry O H, Rosenbrough N J. Protein measurement with the folinphenol reagent. J Biol Chem, 1951, 193: 265~275
- 8 Laemmli U K. Leavage of structural proteins during the assembly of the head of bacteriophage T4. Nature, 1970, 227: 680~685
- 9 Beissner R S, Quiocco F A, Rudolph F B. Dinucleotide fold

- proteins interaction of arabinose binding protein with cibacron blue 3G-A. J Mol Biol, 1979, 134: 847~ 850
- 10 Edward J C, Jon D R, Mary L P et al. Primary amino acid sequence of  $\alpha$ -trichosanthin and molecular models for abrin  $\alpha$  chain and  $\alpha$ -trichosanthin. J Biol Chem, 1990, 265: 8665 ~ 8669
- 11 Easterday R L, Easterday I M. Affinity chromatography of kinases and dehydrogenases on sephadex and sepharose dye derivatives. Adv exptl Med Biol, 1974, 42: 123~ 133

**Rapid Purification of Trichosanthin by Blue Sepharose CL-6B.** YUAN Huidong, XIA Qichang, ZHANG Zuchuan (*Shanghai Institute of Biochemistry, The Chinese Academy of Sciences, Shanghai 200031, China*).

**Abstract** It is revealed by difference spectra

that cibacron blue F3GA could bind specifically to Trichosanthin (TCS). The spectral absorption maximum is on 690 nm with molar absorption coefficient of  $2.6 \times 10^{-3}$  (mol/L) $^{-1} \cdot \text{cm}^{-1}$ . The dissociation constant is 1.8  $\mu\text{mol/L}$ , and 0.5 mol/L NaCl could dissociate the complex. Based on these results, TCS is purified from the root tuber of *Trichosanthes Kirilowii* by Blue Sepharose CL-6B. This method is rapid, simple, efficient and could be applied in mass preparation of TCS.

**Key words** trichosanthin, cibacron blue F3GA, difference spectra, affinity chromatography

## 膜渗滤亲和层析法纯化腹水单克隆抗体

徐 兵 朱忠勇 唐玉钗 兰小鹏

(南京军区福州总医院实验科, 福州 350025)

**摘要** 用膜渗滤亲和层析法纯化腹水单克隆抗体 (McAb). 采用硝酸纤维素膜 (NCM) 作固相支持物吸附抗原, 用负压使小鼠腹水渗滤 NCM, 在滤过的同时腹水中的 McAb 不断结合于 NCM 上吸附的抗原, 再将 McAb 从 NCM 上解离, 从而得到高纯度的 McAb. 用此法纯化白蛋白 (Alb) McAb. 结果提纯的 Alb McAb 纯度达 PAGE 电泳单条带, 将此 McAb 点样 NCM 用于斑点免疫渗滤法 (DIFA) 检测 Alb, 其灵敏度比用腹水点样时高 20 倍. 该法快速简便, 可代替亲和层析柱用于纯化 McAb.

**关键词** 硝酸纤维素膜, 渗滤, 亲和层析, 纯化, 单克隆抗体

利用硝酸纤维素膜 (NCM) 免疫吸附一步法 (简称吸附法) 纯化 Ig<sup>[1]</sup>, 可直接将配体包被于 NCM, 省去了 BrCN 活化琼脂糖珠和制备亲和层析柱, 简化了亲和层析流程. 但该法仅将硝酸纤维素膜 (NCM) 浸入待提液中并不时摇动来使液体中 Ig 与 NCM 上的配体结合, 二者结合的几率较低, 提取率较低, 不适用于量大浓度低的待提液, 且反应时间长, 提纯的是总 IgG. 我们采用硝酸纤维素膜 (NCM) 作固相支持物吸附人血白蛋白, 用负压使 Alb McAb 腹水渗滤 NCM, 使腹水中 McAb 与 NCM 上包被的 Alb 充分结合, 再解

离下 McAb, 提高了抗原与抗体结合率 (免疫浓缩) 和提取效率, 现介绍如下.

## 1 材料和方法

### 1.1 材料

NCM: 孔径 0.65  $\mu\text{m}$  (浙江台州生化材料厂). Alb McAb 杂交瘤及腹水 (本室自制). 人血白蛋白 (Alb) 纯品 (上海生物制品研究所). 抽滤器: 用塑料滤器改制, 将旋接的上盖换成由一圈环壁和一圈环底组成的“压环”,